



1 Ansicht der Eski İmaret Camii von Norden (Foto: Verf.)



2 Ansicht der Eski İmaret Camii von Südwesten (Foto: Verf.)

MIHAJLO POPOVIĆ



1 Sandsteinpyramiden in der Umgebung von Melnik



2 Reste des dreieckigen Turmes in der Festung des Aleksij Slav (von SW)



3 Blick auf die Erhebung *Sveti Nikola* von O; in der Mitte: alte Metropolitankirche Hosios Nikolaos



4 Fundamente der Befestigungsmauer östlich der alten Metropolitankirche Hosios Nikolaos (von O)



5 Blick auf die heutige Stadt Melnik (mittelalterliche Unterstadt) von SO; im S das Kloster Theotokos Spēlaiōtissa



6 Die Kirche Sveti Joan Predteča (von W) im gleichnamigen Stadtviertel



7 Blick auf die südliche Seitenapsis und die Hauptapsis der alten Metropolitankirche Hosios Nikolaos von SO



8 Blick auf die alte Metropolitankirche Hosios Nikolaos von SW



9 Blick auf die alte Metropolitankirche Hosios Nikolaos von W



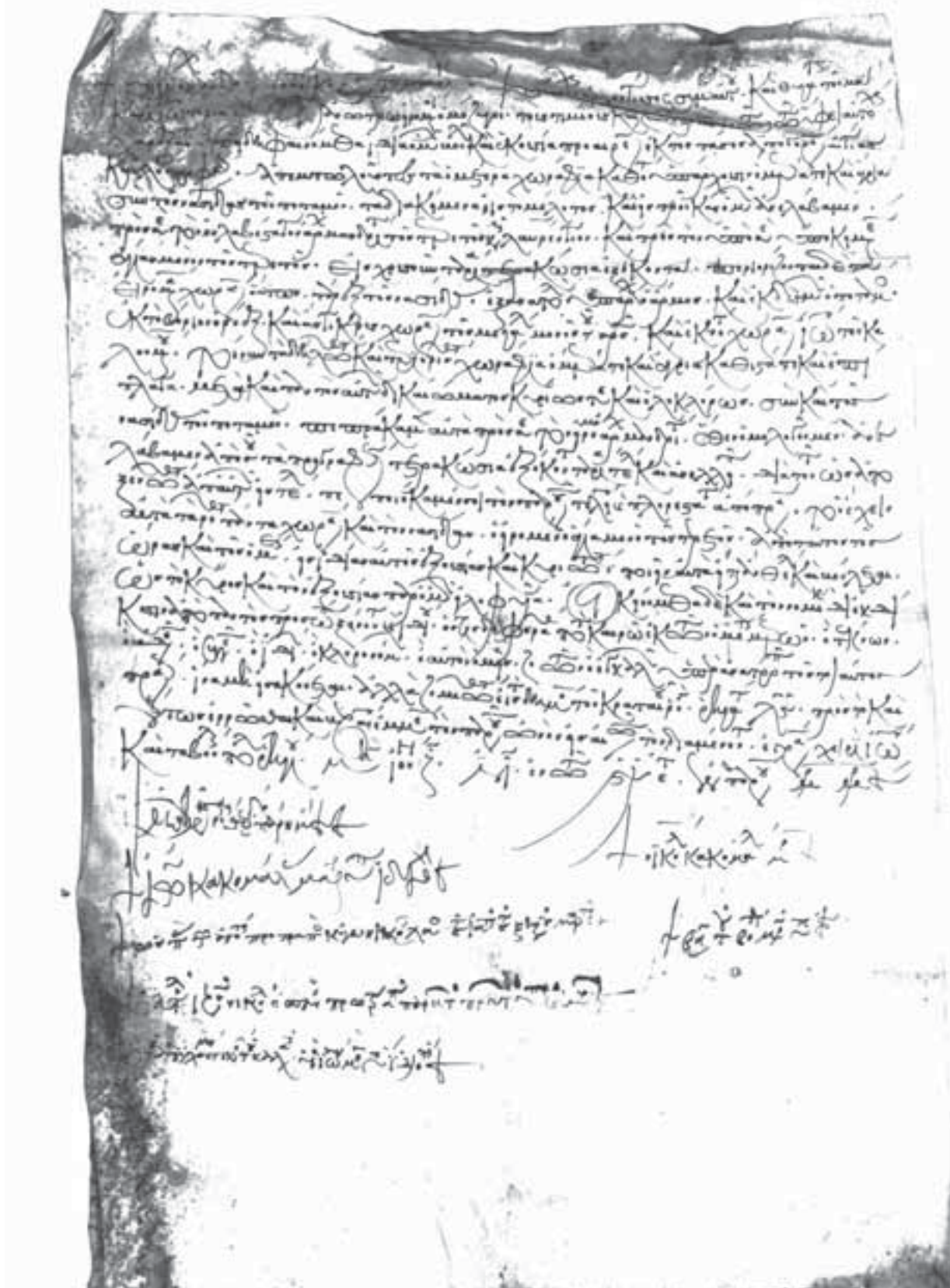
10 Reste von Mauern östlich der heutigen Stadt Melnik (Theomētōr Pantanassa?)



11 Reste des Klosters Theotokos Spēlaiōtissa von S; in der Mitte: Kapelle Sveta Zona



12 Das Kloster Theotokos Spēlaiōtissa von O (Reste der östlichen Befestigungsmauer; O-Seite der Kapelle Sveta Zona)



και καρπού τε μοράκια το δοκητήσεως ήμι.



Csa				BWh				BSk			
cold	hot	dry	wet	cold	hot	dry	wet	cold	hot	dry	wet
460-490	500-540	560-590	440-480	580-690	320-340	540-580	580-690	360-390	660-700	360-390	660-700
790-850	740-790	960-1000	1030-1090	1120-1200	390-420	1160-1200	1030-1090	530-580	1030-1210	530-580	1030-1210
900-950	1020-1050	1030-1070	1120-1200	450-480	1230-1260	510-560	1120-1200	690-720	1090-1200	690-720	1090-1200
990-1020	1070-1110	1090-1130	1230-1260	600-630	1340-1390	740-770	1040-1070	1130-1200	1230-1260	740-770	1230-1260
1030-1060	1140-1160	1340-1390						1290-1320			
1250-1300	1320-1400	1430-1450									

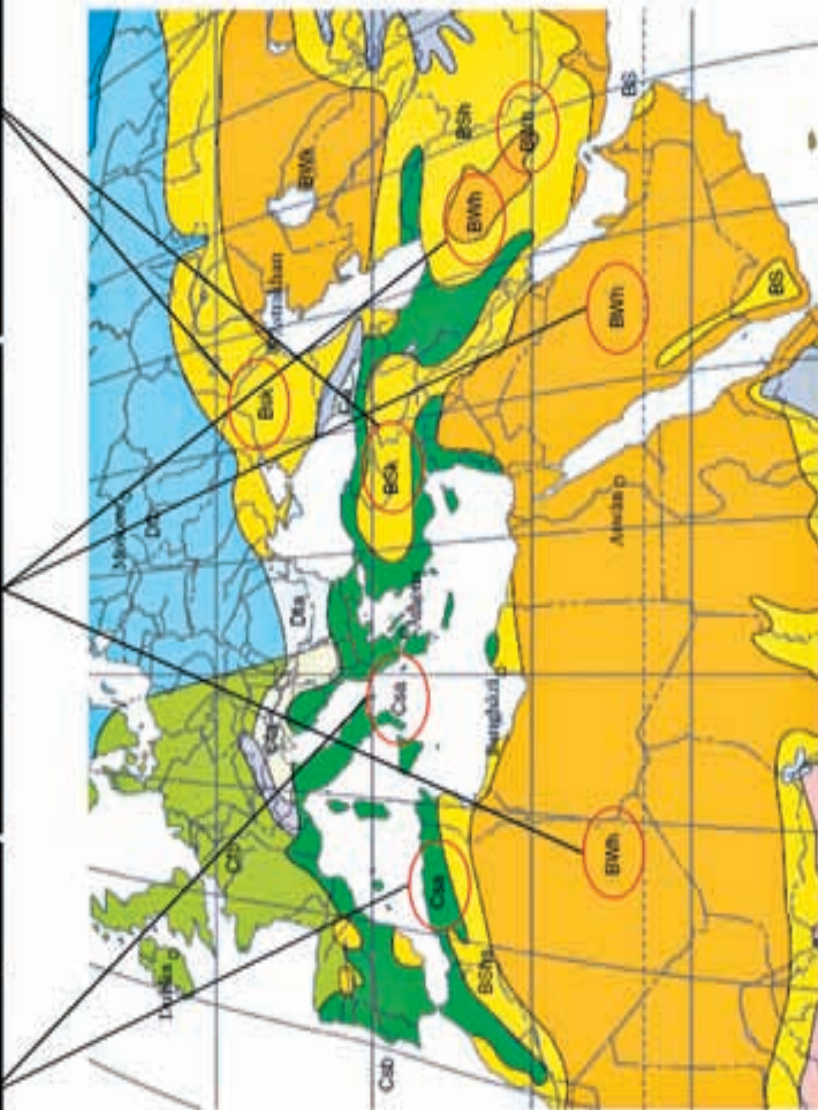


Figure 8 = Pl. 1
Periods of climatic anomaly for the period AD 300–1500 as projected in various Mediterranean regions. The time periods are defined by the decennial frequencies of occurrence of temperature (warm / cold) and rainfall (dry / wet) anomalies reported in the Byzantine documentary sources (cf. Figure 7). The map shows the location of climatic areas around the Mediterranean Sea according to the Vladimir Köppen (1931) climate classification system as modified by Glenn Trewartha (1981). Letter symbols in use:

B = Dry (Arid and semi-arid) climates

[BSk = temperate semi-arid; BShs = semi-arid; BWh = desert; BWk = temperate arid].

C= Temperate/mesothermal climates

[Cfa= humid subtropical; Cfb= maritime temperate; Csa, Csb = Mediterranean].

D= Continental/micro-thermal climates

[Dfa= hot summer continental; Dfb= warm summer continental or hemiboreal]
(cf. Appendix>Sigma> Column 6).

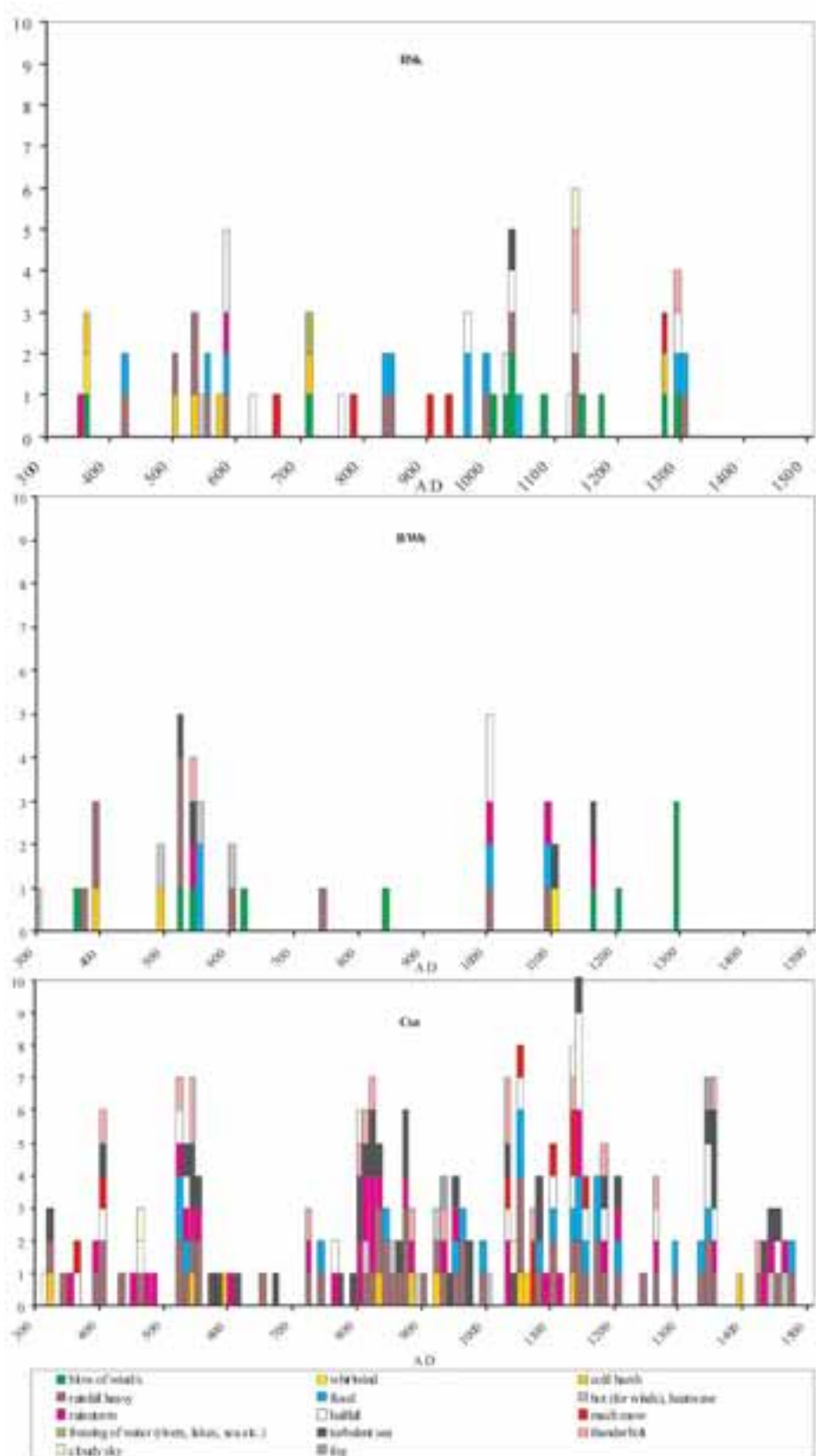


Figure 9 = Pl. 2

Decennial frequencies of occurrence of meteorological phenomena of short duration in various Mediterranean regions for the period AD 300–1500.



1 Euphrasius-Basilika.
Praesentatio der Heiligen und
Stifter in der Apsiskalotte
(A. Terry-H. Maguire)



2 Euphrasius-Basilika.
Erzdiakon Claudius, kleiner Euphrasius und
Bischof Euphrasius (A. Terry-H. Maguire)



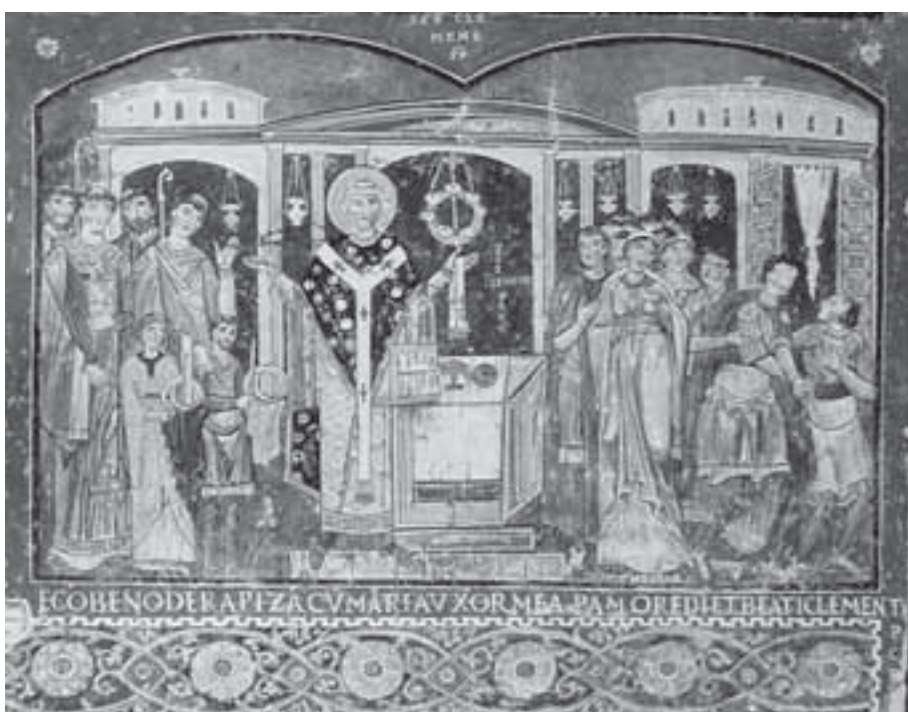
3 Kapelle des Hl. Quiricus und der Hl. Julitta. Die Familie des Theodotus (J. Wilpert)



4 Kapelle des Hl. Quiricus und der Hl. Julitta. Martyriumszene des Hl. Quiricus (J. Wilpert)



5 San Clemente, Unterkirche.
Das Wunder auf der Krim und die Familie von
Benone de Rapiza (J. Wilpert)



6 San Clemente, Unterkirche.
Die Bestrafung des Sisinius und
das Ehepaar Benone de Rapiza
und Maria Macellaria (J. Wilpert)

YIANNIS THEOCHARIS



7 (links oben)
Euphrasius-Basilika.
Mariä Verkündigung
(A. Terry – H. Maguire)



8 (links unten)
Euphrasius-Basilika.
Mariä Heimsuchung
(A. Terry – H. Maguire)



9 (rechts unten)
Bleisiegel der Kaiserin Zoë
(Paris, Bibliothèque Nationale,
Inv. Nr. 3233)